

京都大学防災研究所 正会員 澤井健二  
 〃 〃 〃 芦田和男  
 〃 大学院 学生員 加藤 均

まえがき 前報<sup>1)</sup>において、著者らは、河床波の変形過程に関する研究の意義を述べ、その接近法として、任意の時点における河床波の形状と水量とから、その形状の変化速度を予測するような形で、法則を記述することが有用であることを指摘した。また、河床波の形状を表す代表量としては、少なくとも抵抗予測に関する限り、平均波長と平均波高で、かなりの程度まで目的を達し得る。

そこで、著者らは、河床波の変形過程を、平均波長・平均波高平面上で追跡することを試み、そのような平面上において、各水理条件ごとに、ひとつのとり易い波高と波長の関係を表す直線があり、それから外れた状態にある河床波は、まず何らかの経路を経てそのような直線に近づいた後、その線に沿って平衡点に近づくことを見出した。

本報は、このような、平均波長・平均波高平面を用いて、河床波の変形過程をさらに明確にするために行った一連の実験と、それに基づく変形過程のモデル化について報告するものである。

1. 実験方法 前回の実験においては、実河川の現象を念頭におき、勾配と流量を独立変数に選んで、勾配を時間的に一定に保ち、2~3の段階の流量を交互に変化させた場合での河床波の変形過程を調べたが、上に述べたような観点からすれば、必ずしも複雑なハイドログラフを用いた実験が得策ではなく、むしろ、水量は一定であっても、初期の河床形状を変えることにより、その変形過程がどのようになるかを調べる方が適切である。そこで、今回の実験においては、種々の形状を有する初期河床を、水流あるいは入手で作成したのち、同一の勾配と流量を与えて、その変形過程を追跡した。

用いた河床材料は、平均粒径1.0 mmの均一砂で、初期形状設定後の水理条件は、各ケースとも、勾配1/500、単位幅流量600 cm<sup>2</sup>/sとし、約2~3時間の通水を行った。実験は12ケースからなり、Case 2~4の初期形状は、異なる水理条件下の水流によつて形成されたものであり、不規則性が強く、波長・波高の変動係数も大きい。これに対して、Case 1およびCase 5~11は、下流側勾配を安息角とする、できるだけ規則的な三角波を人為的に作ったものであり、変動係数も小さい。Case 12は、砂面をできるだけ平坦に敷きならしたものであり、変動係数は大きい水、凹凸の絶対値あるいは波形勾配はきわめて小さくなっている。なお、本実験で対象とした河床波は、いずれも砂堆の領域に属するものである。

2. 実験結果ならびに考察 図-1は、Case 6における、平均波長 $\lambda$ 、平均波高 $\Delta$ 、それらの変動係数 $\alpha_\lambda$ 、 $\alpha_\Delta$ 、ならびに波形勾配 $\delta$ ( $\equiv \Delta/\lambda$ )の時間変化をプロットしたものである。ここで、個々の波の判別には、二粒径以上の凹凸をすべて取り出し、ひとつの峰から、その直下流の各までの落差をもって波高とし、その谷をはさむ2つの峰間隔を波長として読み取っている。この実験ケースでは、人為的に作った比較的規則的な三角波を初期形状としているため、実験初期における波長と波高の変動係数は共に小さいが、比較的短時間のうちに変動係数が増加し、長時間後の値(全ケースを通してみると、 $\alpha_\lambda = 0.25 \sim 0.5$ 、 $\alpha_\Delta = 0.3 \sim 0.6$ )とあまり違わなくなっている。

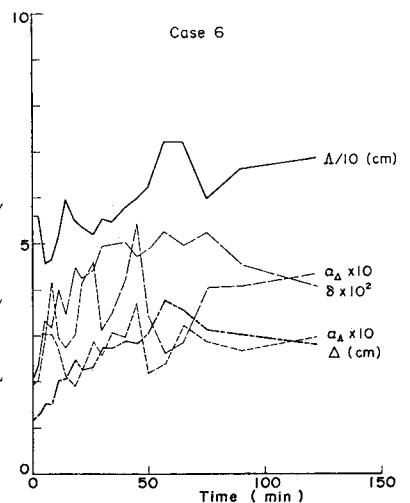


図-1 諸量の時間的变化

